



## بررسی اثر القایی پیپرونیلیک اسید بر بقا سلول‌های بنیادی بافت چربی انسانی بر روی پرده آمنیون سلول‌زدایی شده

زهرا نیکوزاد<sup>۱</sup>، تقی طریحی<sup>۱\*</sup>، محمود اعظمی<sup>۲</sup>، سعید آبرون<sup>۳</sup>، فریده فیضی<sup>۴</sup>

۱- گروه علوم تشریح، دانشکده علوم پزشکی، دانشگاه تربیت مدرس، تهران، ایران.

۲- گروه مهندسی بافت، دانشکده فنواری‌های نوین، دانشگاه علوم پزشکی تهران، تهران، ایران.

۳- گروه خون‌شناسی، دانشکده علوم پزشکی، دانشگاه تربیت مدرس، تهران، ایران.

۴- گروه علوم تشریح، دانشکده پزشکی، دانشگاه علوم پزشکی بابل، بابل، ایران.

تاریخ دریافت: ۱۴۰۱/۰۲/۲۳، تاریخ پذیرش: ۱۴۰۱/۰۴/۰۳

### چکیده

**مقدمه:** در علم مهندسی بافت، استفاده از سلول‌های بنیادی دارای اهمیت ویژه بوده و نقش مهمی در ایجاد بافت‌های قابل پیوند دارد. سلول‌های بنیادی استخراج شده از بافت چربی (ADSCs) از رایج‌ترین سلول‌های بنیادی مورد استفاده در درمان سیاری از بیماری‌ها و همچنین در بهبود روند ترمیم زخم‌ها در مطالعات پیش‌بالینی و بالینی هستند. پرده آمنیون انسانی به عنوان یکی از ساختارهای زیستی با ویژگی‌های خاص در مهندسی بافت کاربرد دارد. پیپرونیلیک اسید (PA) یک مولکول زیستی کوچک می‌باشد که از فلافل سیاه قابل استخراج است. پیپرونیلیک اسید می‌تواند مسیرهای انتقال پیام مرتبط با بقا، رشد و تکثیر سلول‌ها را فعال کند.

**مواد و روش‌ها:** در این مطالعه، سلول‌های بنیادی استخراج شده از چربی انسانی (hADSCs) بر روی پرده آمنیون سلول‌زدایی شده انسانی (DHAM)، در حضور پیپرونیلیک اسید به عنوان مولکول کوچک در محیط کشت، کشت داده شدند، سپس بقا و تکثیر سلول‌ها مورد ارزیابی قرار گرفت. بیان ژن‌های Bax و Bcl2 به عنوان ژن‌های مرتبط با آپوپتوز نیز با روش Real-time PCR مورد مطالعه قرار گرفت.

**نتایج:** نتایج رنگ‌آمیزی H&E و PI و همچنین سنجش محتوای DNA فرآیند سلول‌زدایی پرده آمنیون را تأیید کردند. بقا و تکثیر hADSCs‌های کشت شده بر روی DHAM افزایش معنی‌داری را در حضور ۷۵ میکرومولار PA نشان دادند. کشت سلولی بر روی DHAM و در حضور ۷۵ میکرومولار PA کاهش معنی‌دار بیان ژن Bax و افزایش معنی‌دار بیان ژن Bcl2 را نشان داد.

**نتیجه‌گیری:** نتایج مطالعه ما نشان دادند که DHAM به عنوان یک داریست زیستی به همراه مولکول PA می‌تواند قابلیت بقا و پتانسیل تکثیر hADSCs را در شرایط آزمایشگاهی بهبود بخشد. PA به عنوان مولکولی با ویژگی‌های شبیه به فاکتور رشد می‌تواند در مهندسی بافت‌های مختلف و کشت سلولی in vitro استفاده شود.

**واژه‌های کلیدی:** سلول‌های بنیادی بافت چربی، پرده آمنیون سلول‌زدایی شده، پیپرونیلیک اسید، بقا سلول، مهندسی بافت.

**نویسنده مسئول:** تهران، بزرگراه جلال آل احمد، پل نصر، دانشگاه تربیت مدرس، دانشکده علوم پزشکی، گروه علوم تشریح، تلفن: ۰۲۱-۸۲۸۸۳۸۹۵، ۰۲۱-۸۲۸۸۳۸۹۵، نامبر: takialtr@modares.ac.ir

**ارجاع:** نیکوزاد زهرا، طریحی تقی، اعظمی محمود، آبرون سعید، فیضی فریده. بررسی اثر القایی پیپرونیلیک اسید بر بقا سلول‌های بنیادی بافت چربی انسانی بر روی پرده آمنیون سلول‌زدایی شده. مجله دانش و تدرستی در علوم پایه پزشکی ۱۴۰۱؛ ۱۷: ۲۵-۳۳.

## مقدمه

زخم‌های پوستی شامل خایات ترموماتیک، سوختگی‌ها، زخم بستر و زخم‌های مزمن مانند زخم دیابتی و غیره می‌توانند منجر به از دست رفتن سطح وسیعی از پوست، ایجاد پیامدهای شدید بالینی و حتی مرگ شوند (۱ و ۲). مهندسی بافت به عنوان زمینه‌ای از علم پژوهشی مدرن می‌تواند با استفاده از داربست‌های سه بعدی زیست تخریب‌پذیر، منابع سلولی و مولکولی‌های زیستی برای بازسازی بافت‌های مختلف و همچنین در ترمیم پوست مورد استفاده قرار گیرد (۳). استفاده از جایگزین‌های پوستی برای اولین بار در سال ۱۸۷۱ توسط ریوردین صورت پذیرفت (۴) و پس از آن تا به امروز مواد زیستی گوناگونی جهت ساخت جایگزین‌های پوستی مورد استفاده قرار گرفته است و اشکال مختلفی از جایگزین‌های مصنوعی و زیستی پوست ایجاد شده است (۵ و ۶).

از یک سو، پرده آمنیون انسانی (Human amniotic Membrane) یکی از جایگزین‌های زیستی با پتانسیل خاص برای استفاده در مهندسی بافت است (۴). این غشاء، بافت نازکی است که جنین را احاطه کرده است و سه لایه اصلی دارد که این لایه‌ها شامل یک لایه اپیتلیال، یک لایه غشای پایه و یک لایه بافت همبند (۷-۱۰) می‌باشد، که در آن لایه غشای پایه مشکل از کلاژن نوع I، III، IV، V، الاستین، لاپین، فیبرونکتین و پروتوکلیکان‌ها می‌باشد (۹-۱۲). HAM به دلیل رهایش فاکتورهای رشد و سیتوکین‌هایی مانند فاکتور رشد اپیدرمی (EGF)، فاکتور TGF- $\beta$ ، ایترولوکین ۶ (IL-6)، IL-8 و IL-10 که توسط اپیتلیوم و ماتریکس استرومایی آن تولید می‌شوند، به طور گسترده‌ای به عنوان یک منبع طبیعی برای ساخت داربست در جراحی‌های پوست جهت درمان سوختگی‌ها استفاده می‌شود (۱۳-۱۶). علاوه بر این، HAM به دلیل دارا بودن خواص خدالت‌هابی، ضدمیکروبی، غیر آتشی‌رنی و همچنین ویژگی‌هایی مانند در دسترس بودن، مقرن به صرفه بودن، خواص مکانیکی قابل قبول، نفوذپذیری، پایداری، کشسانی و انعطاف‌پذیری به عنوان یک ماده زیستی در جهت ساخت داربست‌های مورد استفاده در مهندسی بافت بسیار مورد توجه قرار گرفته است (۹-۱۰ و ۱۷). HAM به دو صورت مورد استفاده قرار می‌گیرد: به شکل طبیعی و به شکل سلول‌زدایی شده. شکل طبیعی آن به عنوان پانسمان بیولوژیک در کاربردهای بالینی و شکل سلول‌زدایی شده (Decellularized Amniotic Membrane: DAM) آن به عنوان داربست در پژوهشی باز ساختی مورد توجه می‌باشد (۹، ۱۰، ۱۸ و ۱۹).

## مواد و روش‌ها

غشاهای جنینی (غشاهای کوریوآمنیوتیک) در شرایط استریل از زنان اهداکننده سالمی که تحت عمل سزارین در بیمارستان محب کوثر تهران قرار گرفته بودند، جمع آوری شد. پس از اطلاع از هدف مطالعه، فرم‌های رضایت آگاهانه امضا شده از هر اهداکننده دریافت شد. همه اهداکنندهان قبلاً از لحاظ ابتلا به عفونت‌های قابل انتقال به انسان از جمله ایدز، هپاتیت B و C و سیفلیس غربالگری شده بودند و آزمایش همه آنها برای این ویروس‌ها و عفونت‌ها منفی بود. پرده‌های آمنیون در سرم فیزیولوژیک قرار داده و در شرایط استریل به آزمایشگاه منتقل شدند. بافت‌ها در محلول فسفات بافر (PBS) حاوی آنتی‌بیوتیک قرار داده شدند. در آزمایشگاه، پرده‌های آمنیون تازه سه مرتبه با آب مقطر سرد استریل شسته شدند. پس

FBS) کشت داده شدند. محیط کشت هر ۲ روز یکبار تعویض شد و پس از رسیدن به ۹۰٪ تراکم سلولی در فلاسک کشت، پاساژ داده شدند. پس از تریپسینه کردن، سلول‌های hADSCs با غلظت  $2 \times 10^5$  hADSCs قرار داده شده در کف چاهک‌ها در پلیت کشت ۲۴ چاهکی کشت داده شدند. بررسی انتقال سلول‌ها بر روی Scanning Electron (Microscopy: SEM) انجام شد.

DHAM حاوی hADSCs کشت شده بر روی آنها در محیط کشت DMEM با ۱٪ آنتی‌بیوتیک پنی‌سیلین/استرپتومایسین و غلظت‌های مختلف Piperonylic Acid 99%، Sigma-Aldrich PA (Piperonylic Acid 99%, Sigma-Aldrich) با ۱٪ DMEM، ۵۰، ۷۵، ۱۰۰، ۱۲۵ و ۱۵۰ میکرومولار در پلیت کشت ۹۶ چاهکی جهت آزمون MTT و پس از انتخاب غلظت بهینه در پلیت ۲۴ چاهکی جهت ارزیابی بیان ژن کشت داده شدند. کشت hADSCs در غیاب PA و hADSCs در غیاب PA به عنوان گروه کنترل در نظر گرفته شد.

با روش MTT با ۳-(4,5-dimethylthiazol-2-yl)-2,5-(diphenyltetrazolium bromide, Sigma-Aldrich) ارزیابی شد. برای ارزیابی زندگانی سلول‌ها، سلول‌ها به مدت ۴۸ ساعت در پلیت ۹۶ چاهکی کشت و سپس تریپسینه شدند و سلول‌ها با غلظت  $10 \times 10^5$  برای سنجش MTT در هر گروه در نظر گرفته شدند. برای سنجش تکثیر، پس از ۴۸ ساعت کشت، محیط‌های کشت با ۱۰۰ میکرولیتر محلول MTT (5 میلی‌گرم در میلی‌لیتر در محیط کشت) در هر چاهک به مدت ۴ ساعت جایگزین شد. پس از انکوباسیون، محلول MTT خارج شد و محلول دی متیل سولفوکسید (DMSO) (Sigma-Aldrich) برای حل کردن بلورهای فورمازان اضافه شد. پس از پیپت کردن، چگالی نوری محلول در طول موج ۵۷۰ نانومتر با استفاده از صفحه خوان الایزا (ELISA Anthos 2020) تجزیه و تحلیل شد.

بیان ژن‌های Bax و Bcl-2 با روش Real-time RT-PCR مورد ارزیابی قرار گرفت. سلول‌های کشت شده با تریپسینزاسیون از DHAM جدا شدند، سپس RNA کل با استفاده از معرف تراپیزول طبق پروتکل سازنده (Qiagen, Ready Mini Kit) استخراج شد. DNA مکمل از طریق رونویسی معکوس، با استفاده از کیت سنتر (Roche, Transcript First Strand cDNA Synt) ایلات متعدد آمریکا) استخراج شد. PCR از طریق پرایمرهای اختصاصی ژن و آمریکا) سنتز شد. SYBR Green PCR Master Mix (Qiagen) در سه تکرار و توسط Applied Bioscience 7500HT Fast انجام شد. توالی پرایم در جدول ۱ نشان داده شده است. تجزیه و تحلیل منحنی ذوب برای تشخیص وجود تکثیر غیراختصاصی پس از هر اجرا انجام شد.  $\beta$ -اکتین به عنوان ژن کشت شده بر روی hADSCs ارزیابی شد.

از حذف خون باقیمانده از بافت‌ها و مشاهده شفافیت بافت، غشاهای آمینون از غشای کوریون زیرین جدا شدند و سپس برای فرآیند سلول‌زدایی مورد استفاده قرار گرفتند.

سلول‌زدایی HAM طبق پروتکل شرح داده شده در رفرنس ۲۷ انجام شد. به طور خلاصه، غشای آمینون انسان با محلول EDTA ۰.۲٪ در دمای ۳۷ درجه سانتی‌گراد به مدت ۳۰ دقیقه تیمار شد. سپس نمونه با آب مقطر سه مرتبه به مدت ۵ دقیقه شسته شد. در مرحله دوم غشای آمینون به مدت ۳۰ ثانیه در محلول NaOH ۰.۵٪ مولار غوطه‌ور شد و سپس با آب مقطر سه مرتبه به مدت ۵ دقیقه شست و شو شد. سپس نمونه در ۵٪ NH4Cl به مدت ۲۰ دقیقه در دمای اتاق قرار داده شد و به شدت تکان داده شد. غشای آمینون تیمار شده نهایی با یک اسکراپر سلولی خراش داده شد تا سلول‌ها از دو طرف غشاء خارج شوند. سپس نمونه‌ها با اندازه موردنیاز در گلیسیروف ۸٪ غوطه‌ور شدند و در دمای ۴ درجه سانتی‌گراد نگهداری شدند.

برای اثبات اینکه آیا سلول‌ها با موفقیت از نمونه‌های بافت برداشته شدند، غشای آمینون سلول‌زدایی شده (n=3) از نظر بافت‌شناسی و همچنین با سنجش محتوای DNA مورد ارزیابی قرار گرفت. برای بررسی بافت‌شناسی، نمونه‌های بافت به مدت ۴۸ ساعت در فرمالین ۱۰ درصد تثبیت شدند، با غوطه‌ور شدن در محلول اتانول با غلظت‌های فرآینده تا الکل ۱۰۰ درصد، آبگیری شدند و پس از غوطه‌ور شدن در گریل در پارافین قالب‌گیری شدند. نمونه‌ها با استفاده از میکروتوم به ضخامت ۴ میکرومتر برش داده شدند و سپس با هماتوکسیلین و انوزین (H&E) و تری کروم ماسون (MT) رنگ‌آمیزی شدند. در نهایت اسالیدهای بافتی رنگ‌آمیزی شده با میکروسکوپ نوری مورد مطالعه قرار گرفتند. به روشهای دیگر برای تأیید عدم وجود سلول‌ها در DHAM رنگ‌آمیزی PI (Propidium iodide) به عنوان یک عامل فلورسنت برای تجزیه و تحلیل شد.

سنجش محتوای DNA برای تأیید دیگری از فرآیند سلول‌زدایی با تعیین غلظت DNA در نمونه‌ها انجام شد. استخراج DNA از نمونه‌های سلول‌زدایی شده و (n = 3) DNA توسط کیت استخراج (Invitrogen TRIzol reagent) انجام شد. بر اساس روش کیت استخراج، نمونه‌ها در محلول TRIzol لیز و همگن شدند. سپس خالص سازی DNA انجام شد. پس از خالص‌سازی، فرآیند رسوب DNA انجام شد. در نهایت، با محلول سازی DNA غلظت آن تعیین شد.

- کشت hADSCs بر روی DHAM

سلول‌های بنیادی روبیان، موسسه روبیان، ایران خردباری شدند و سپس در محیطی مشکل از محیط کشت (Invitrogen) DMEM (Invitrogen) همراه با ۱٪ آنتی‌بیوتیک پنی‌سیلین/استرپتومایسین (Sigma) و ۱۰٪ سرم جنین گاوی (Sigma)

### - سنجش MTT

ارزیابی زنده مانی و تکثیر hADSC‌ها بر روی DHAM در حضور غلظت‌های مختلف PA، به کمک سنجش MTT انجام شد. نتایج آزمون افزایش معنی‌دار بقا و تکثیر سلولی را در گروهی که hADSCs با غلظت ۷۵ میکرومولار PA کشت داده شده بودند نشان داد (شکل ۴). PA اثر سمی بر روی زنده مانی و تکثیر سلولی در غلظت‌بیش از ۱۵۰ میکرومولار نشان داد که در آن بقا و تکثیر سلولی به طور معنی‌داری در غلظت‌های ۱۷۵ و ۲۰۰ میکرومولار PA کاهش یافت.

### - qRT-PCR

پس از ۲ هفته کشت، نتایج بیان ژن 2 Bcl-2 در گروه تیمار شده با ۷۵ میکرومولار PA نسبت به گروه کنترل به طور معنی‌داری بیشتر بود (۱) در مقابله  $0.5452 \pm 0.3634 \pm 0.3733 \pm 0.1069$  (P<0.05). به طور معنی‌دار، سلول‌های این گروه سطوح پایین‌تری از ژن Bax را نسبت به گروه کنترل بیان کردند (۱) در مقابله  $0.5452 \pm 0.3634 \pm 0.3733 \pm 0.1069$  (P<0.05). نسبت Bax/Bcl-2 به عنوان شاخص حساسیت سلولی به آپوپتوز، کاهش قابل توجه آپوپتوز را در hADSC‌ها کشت داده شده روی DHAM در حضور ۷۵ میکرومولار PA نشان داد.

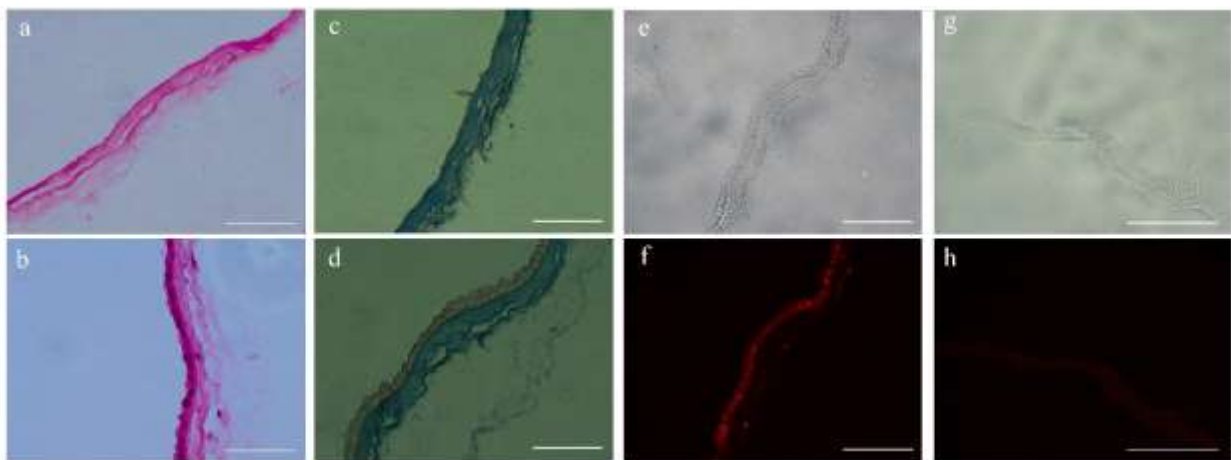
کنترل داخلی در نظر گرفته شد. سطح بیان هر ژن به صورت  $2^{-\Delta CT}$  (۲۵) محاسبه و سپس به صورت تغییرات چندبرابری بیان شد. داده‌های حاصل از این مطالعه به کمک آزمون‌های one-way ANOVA و t-test در نرم‌افزار GraphPad Prism مورد تجزیه و تحلیل آماری قرار گرفتند و اختلافات معنی‌دار به صورت  $P < 0.05$  در نظر گرفته شد.

### نتایج

- بررسی بافت‌شناسی DHAM در مقایسه با HAM دست نخورده رنگ‌آمیزی‌های بافت‌شناسی نشان دادند که لایه اپتیلیال به طور کامل از روی غشاء پایه DHAM حذف شده بود. همچنین دستجات الیاف کالاژن نیز در لایه اسفنجی DHAM مشاهده شدند (شکل ۱). رنگ‌آمیزی PI همچنین نشان داد که لایه اپتیلیال پس از فرآیند سلول‌زدایی حذف شده بود (شکل ۱).

سنجش محتوای DNA برای بررسی حضور DNA در DHAM کاهش قابل توجهی را در مقایسه با HAM دست نخورده نشان داد (شکل ۲). این ارزیابی همچنین تأیید دیگری بر موقوفیت فرآیند سلول‌زدایی بود.

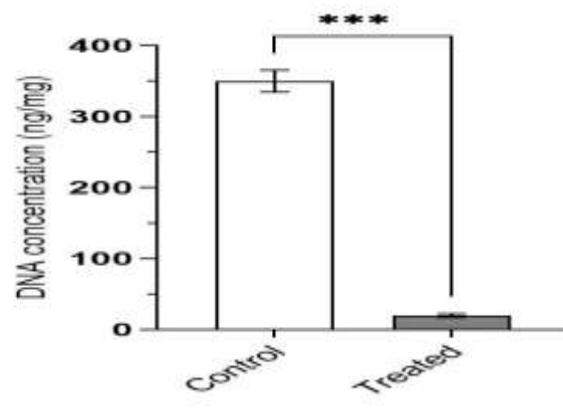
- بررسی اتصال hADSC‌ها بر روی DHAM میکروگراف الکترونی توسط SEM نشان داد که اتصال hADSC‌ها بر روی DHAM با تراکم مناسب همان‌طور که در شکل ۳ نشان داده شده است انجام شده بود.



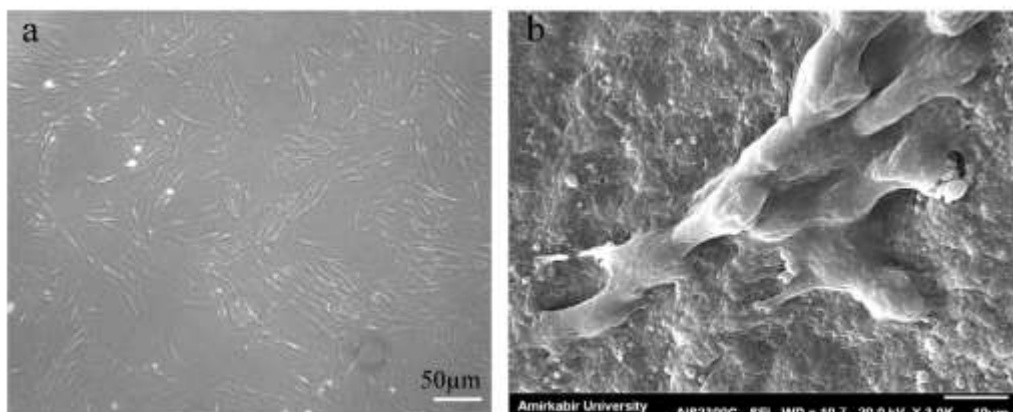
شکل ۱- ارزیابی بافت‌شناسی پرده آمنیون سلول‌زدایی شده

رنگ‌آمیزی هماتوکسیلین-آفوزن در پرده آمنیون سلول‌زدایی شده (a) پرده آمنیون در پرده آمنیون سلول‌زدایی شده (b). رنگ‌آمیزی تری کروم ماسون در پرده آمنیون سلول‌زدایی شده (c) پرده آمنیون در پرده آمنیون سلول‌زدایی شده (d). رنگ‌آمیزی PI برای ارزیابی حضور سلول‌ها بر روی آمنیون در پرده آمنیون در پرده آمنیون سلول‌زدایی شده (e) تصویر فاز کنتراست و f تصویر فاز کنتراست و g تصویر میکروسکوپ فلورسنت (PI: propidium iodide) پرده آمنیون سلول‌زدایی شده (g) تصویر فاز کنتراست و h تصویر میکروسکوپ فلورسنت. Scale bar = 50 μm, Abbreviation, {}

{PI: propidium iodide}

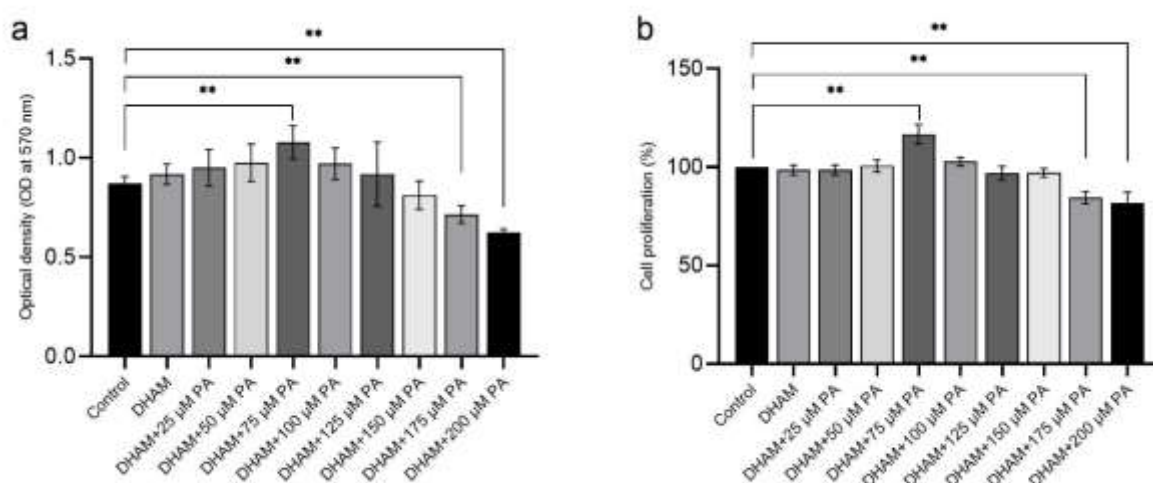


شکل ۲- سنجش محتوای DNA



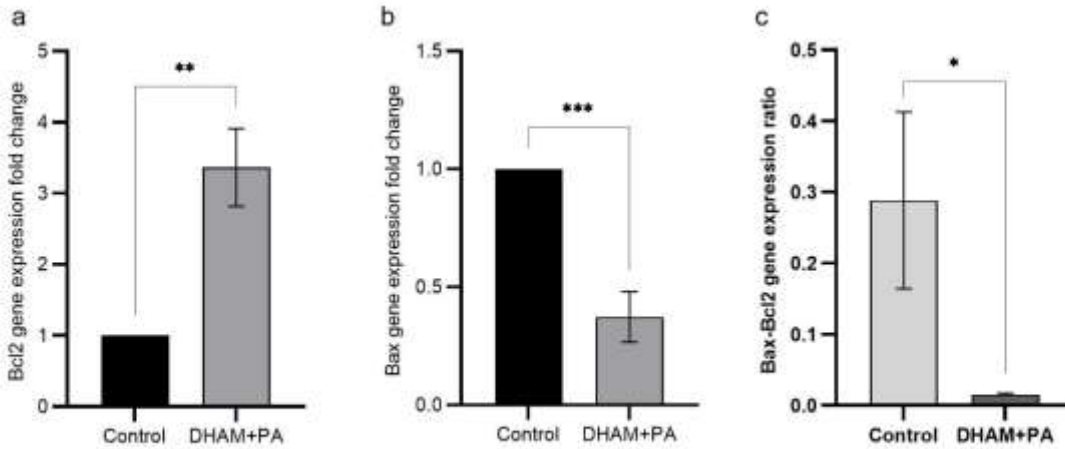
شکل ۳- a- تصویر فاز متضاد سلول‌های hADSCs در شرایط کشت معمولی در فلاسک کشت. b- تصویر میکروسکوپ الکترونی SEM سلول‌های hADSCs بر روی داربست DHAM داربست

تصاویر اتصال سلول‌ها و مورفولوژی آنها را بر روی بستر نشان می‌دهد. ) Abbreviation, SEM: scanning electron microscopy, hADSC: human adipose derived stem cell, DHAM: decellularized human amniotic membrane



شکل ۴- آزمون MTT جهت ارزیابی بقا و تکثیر سلول‌های hADSCs بر روی DHAM و در حضور غلظت‌های مختلف PA در محیط کشت

نمودار a نشان می‌دهد که سلول‌ها بر روی DHAM و حضور  $75 \mu\text{M}$  PA در غلظت‌های ۱۷۵ و  $200 \mu\text{M}$  اثر سمی داشته است. نمودار b نشان می‌دهد که سلول‌ها بر روی DHAM و حضور  $75 \mu\text{M}$  PA قدرت تکثیر بیشتر و در غلظت‌های ۱۷۵ و  $200 \mu\text{M}$  توان تکثیر کمتری داشته‌اند. اختلافات معنی‌دار با \* نمایش داده شده‌اند. (Abbreviation, DHAM: decellularized human amniotic membrane, PA: piperonylic acid)



شکل ۵- بیان ژن‌های مرتبط با آپوپتوز. بیان ژن‌های Bax و Bcl2 به روش Real-time PCR (a و b) و همچنین نسبت بیان Bax/Bcl-2 نیز (c) نشان داده شده است. (Abbreviation, DHAM: decellularized human amniotic membrane, PA: piperonylic acid)

داربست‌های زیستی تولید شده به‌طور قابل توجهی برای محافظت از ترمیم زخم‌ها در مهندسی بافت پوست استفاده شده‌اند (۲۷). پرده آمنیون انسانی یکی از قدیمی‌ترین داربست‌های سه بعدی است که برای اولین بار به‌عنوان جایگزین زیستی در پیوند پوست استفاده شده است (۱۰). پرده آمنیون بافت نیمه شفاف نازکی است که متشکل از سلول‌ها و ECM بوده و اطراف جنبه‌ی را احاطه کرده است. از آغاز قرن بیستم، از پرده آمنیون (AM) به‌عنوان زخم‌پوش برای درمان و ترمیم سوختگی پوست استفاده شده است (۲۸). اولین گزارش استفاده از پرده آمنیون تازه برای درمان زخم‌های پوستی به سال ۱۹۱۰ و مطالعه J.S. دیویس بر می‌گردد (۲۹). AM به‌صورت طبیعی و یا سلول زدایی شده در زمینه‌های مختلف پژوهشی از جمله درماتولوژی، جراحی مغز و اعصاب، اختلالات دستگاه ادراری، جراحی لگن و بازسازی مصنوعی واژن مورد استفاده قرار گرفته است (۱۶ و ۳۰). یک داربست مناسب باید دارای ویژگی‌هایی مانند زیست سازگاری، زیست تخریب‌پذیری و خواص مکانیکی مناسب باشد و همچنین بتواند به راحتی با بافت میزان ادغام شود تا ریزمحیطی مناسب برای حمایت از رشد، تکثیر و تمایز سلولی را فراهم کند (۳۱). پرده آمنیون به‌عنوان یک داربست بیولوژیکی به‌دلیل دارا بودن ویژگی‌هایی همچون زیست سازگاری، زیست تخریب‌پذیری و خواص مکانیکی مناسب مانند کشسانی، انعطاف‌پذیری و همچنین نفوذپذیری، به‌طور گستردگی در پژوهشی بازساختی

## بحث

هدف اصلی این مطالعه ایجاد یک ماتریکس سه بعدی از جنس پرده آمنیون به‌عنوان یک سیستم تحويل سلولی در حضور مولکول زیستی کوچک PA به‌عنوان القاکننده رشد برای hADSC‌های کشت داده شده بود. در مطالعه حاضر، hADSC‌ها بر روی داربست پرده آمنیون سلول‌زدایی شده انسانی در حضور PA کشت شدند. نتایج ما بر اساس تصاویر SEM و سنجش MTT اتصال hADSC‌ها به سطح DAM را نشان داد و همچنین بقا و ظرفیت تکثیر این سلول‌ها را بر روی DAM تأیید کرد. همچنین نتایج این مطالعه نشان داد که حضور PA در محیط کشت می‌تواند این شاخص‌ها را بهبود بخشد.

آسیب‌های پوستی که منجر به از دست رفتن تمام ضخامت پوست می‌شوند در کنار دیگر آسیب‌های عمیق پوستی، چالش‌های مهمی در درماتولوژی و جراحی پلاستیک هستند. در طول دهه‌های گذشته، نتایج موفقیت‌آمیز و پیشرفت‌هایی گستردگی از جایگزین‌های پوستی به‌دست آمده است. با این حال، معمولاً جایگزین‌های پوستی رایج مانند پانسمان و همچنین پیوندهای پوستی قادر به ترمیم کامل پوست و دستیابی به ویژگی‌های پوست سالم نیستند و باید مشکلاتی مانند کمبود افراد اهداف‌کننده، عفونت محل زخم، هزینه‌های بالا و تشکیل اسکار هیپرتروفیک را نیز در نظر گرفت (۲۱ و ۲۶). تا به امروز، بسیاری از

منابع ذکر شده جداسازی کرد، اما دسترسی کافی به مقادیر انبوه EGF دشوار است. بنابراین، استفاده از مولکول‌های کوچک طبیعی این با پایداری مناسب برای جایگزینی با این فاکتور رشد مفید خواهد بود. پیپرونیلیک اسید یک ترکیب مشتق شده از فلفل سیاه می‌باشد که می‌تواند فعالیت EGF را از طریق القای مسیر انتقال پیام گیرنده EGF تقلید کند (۳۶). ما در این مطالعه مشاهده کردیم که PA می‌تواند پتانسیل تکثیر و بقا سلول‌های hADSC را در محیط کشت بهبود بخشد. علاوه بر این، بیان ژن‌های Bax و Bcl2 PA تأیید کرد که PA می‌تواند آپوپتوز سلولی را سرکوب کند و سلول‌های قرار گرفته در معرض PA، پتانسیل بیشتری برای بقا در شرایط آزمایشگاهی دارند. از آنجایی که PA خواصی شبیه به EGF دارد، می‌توان آن را به عنوان یک شبه فاکتور رشد برای کشت سلول‌های بنیادی در شرایط آزمایشگاهی معرفی کرد. علاوه بر این، PA دارای فعالیت‌های آنتی‌اکسیدانی و ضدیکروبی است که دلیل دیگری برای استفاده بالقوه آن در بهبود روند ترمیم زخم است. ما PA را به عنوان یک مولکول کوچک برای کاربرد در مهندسی بافت توصیه می‌کنیم، به طوریکه که می‌توان از آن به عنوان یک فاکتور رشد در داربست‌ها و دیگر سازه‌های مهندسی شده به عنوان حمایت بیشتر از سلول‌ها در محل‌های پیوند استفاده کرد. بر اساس خواص شبیه فاکتور رشدی PA می‌توان از آن برای کشت منابع مختلف سلول‌های بنیادی در شرایط آزمایشگاهی و همچنین برای حفظ بقای سلول در سیستم‌های تحويل سلولی استفاده کرد.

یک مولکول طبیعی کوچک است که با خاصیت شبیه فاکتور رشدی خود می‌تواند همراه با DHAM و همچنین دیگر سازه‌های مهندسی بافت مورد استفاده قرار گیرد و کارایی سازه را در پشتیبانی از بقا و تکثیر سلولی افزایش دهد. DHAM نیز به عنوان یک ECM طبیعی می‌تواند بستر مناسبی برای اتصال سلول‌ها باشد و از بقا و تکثیر سلول‌ها در کاربردهای بالینی حمایت کند.

### تشکر و قدردانی

این مطالعه توسط کمیته اخلاق دانشگاه پزشکی دانشگاه تربیت مدرس (شناسه تأیید شده: IR.MODARES.REC.1397.083) تأیید شده است و نویسنده‌گان از حمایت‌های مالی دانشگاه تربیت مدرس کمال تشکر و قدردانی را دارند.

### References

- Bacakova L, Zikmundova M, Pajorova J, Broz A, Filova E, Blanquer A, et al. Nanofibrous scaffolds for skin tissue engineering and wound healing based on synthetic polymers. *Applications of Nanobiotechnology* 2019;1. doi: 10.5772/intechopen.88744
- Das U, Behera SS, Singh S, Rizvi SI, Singh AK. Progress in the Development and Applicability of Potential Medicinal Plant Extract-Conjugated Polymeric Constructs for Wound Healing and Tissue Regeneration. *Phytother Res* 2016;30:1895-904. doi: 10.1002/ptr.5700

مورد استفاده قرار گرفته است (۱۰). در مطالعات صورت گرفته جهت سلول زدایی HAM، روش‌های شیمیایی و آنزیمی متفاوتی مورد آزمایش قرار گرفته است. اگرچه این روش‌ها به طور موثری سلول‌ها را حذف می‌کنند، اما عموماً زمان‌بر و پرهزینه می‌باشند و ممکن است ساختار ECM را تغییر دهند. قلی پور ملک‌آبادی و همکاران در سال ۲۰۱۵ در مطالعه خود یک روش ساده و ارزان را بر اساس تکنیک‌های شیمیایی و مکانیکی برای سلول‌زدایی HAM منتشر کردند (۳۲). در مطالعه ما، روش سلول‌زدایی بر اساس روش قلی پور ملک‌آبادی و همکاران (۳۲) انجام شد و نتایج مشابه مشاهده گردید. در مطالعه ما هم‌سو با مطالعات مشابه گذشته، نتایج رنگ‌آمیزی H&E و PI و همچنین بررسی محتوای DNA پرده آمنیون پس از سلول‌زدایی، کارایی روش مورد استفاده را تأیید کردند. hADSC بر روی پرده آمنیون سلول‌زدایی شده کشت داده شدند و کارایی DHAM به عنوان یک حامل و پشتیبانی برای رشد سلول‌های hADSC مورد بررسی قرار گرفت. هر دو روش MTT و بیان ژن Bax/Bcl2 به طور معنی‌داری نشان دادند که DHAM هیچ اثر سمی بر روی سلول‌های کشت داده شده ندارد. هم‌سو با نتایج مطالعه ما، Moravvej و همکاران در سال ۲۰۲۱ بقا و قابلیت تکثیر سلول‌های فیبروبلاستی بر روی پرده آمنیون سلول‌زدایی شده را به کمک روش‌هایی مشابه با مطالعه ما بررسی و گزارش کردند. گزارش آن‌ها نشان داد که سلول‌های فیبروبلاستی قادرند به پرده آمنیون سلول‌زدایی شده انسان در محیط کشت متصل شوند و توان از بقا و تکثیر خود را نیز حفظ کنند. (۳۳). ویژگی اتصال سلولی داربست‌های مهندسی بافت بسیار حائز اهمیت است زیرا که می‌تواند عمیقاً بر کارایی داربست تأثیر بگذارد. به همین دلیل، چسبندگی hADSCs کشت داده شده بر روی DHAM با تصویربرداری SEM ارزیابی شدند و میکروگراف‌های الکترونی اتصال فعل سلول‌ها به DHAM را نشان دادند. این ویژگی مناسب DHAM می‌تواند آن را به عنوان یک کاندید مناسب در رویکردهای بازسازی پوست معرفی کند.

بهبود زخم فرآیندی فعال است که شامل مراحل التهاب، تکثیر و بازسازی ماتریکس خارج سلولی است که در این روند انواع مختلف سلول‌ها و فاکتورهای مربوط باعث بهبود روند ترمیم زخم و بازسازی بافت پوست می‌گردند. از میان فاکتورهای دخیل، فاکتورهای رشد، عناصری اصلی و مهم در روند ترمیم زخم می‌باشند (۳۴). از آنجا که سلول‌های فیبروبلاست و همچنین کراتینوسیت‌ها کیرنده‌هایی با میل ترکیبی بالا برای اتصال به فاکتور رشد اپیدرمی (EGF) بیان می‌کنند، استفاده از EGF به عنوان یکی از مؤثرترین فاکتورهای رشد مورد مطالعه در رویکردهای بالینی در فرآیند ترمیم زخم بوده است. EGF می‌تواند تکثیر و بقای سلول‌ها را افزایش دهد و همچنین سبب تسهیل بازسازی سلول‌های اپیدرمی و فیبروبلاستی در روند بهبود زخم گردد (۳۵). EGF انسانی در ادرار، بزاق، شیر و پلاسمای انسان قابل شناسایی می‌باشد. این پلی پیتید تک زنجیره‌ای را می‌توان از

3. Pandey AR, Singh US, Momin M, Bhavsar C. Chitosan: Application in tissue engineering and skin grafting. *Journal of Polymer Research* 2017;24:1-22. doi:10.1007/s10965-017-1286-4
4. Farhadhosseinabadi B, Farahani M, Tayebi T, Jafari A, Biniazan F, Modaresifar K, et al. Amniotic membrane and its epithelial and mesenchymal stem cells as an appropriate source for skin tissue engineering and regenerative medicine. *Artif Cells Nanomed Biotechnol* 2018;46:431-40. doi: 10.1080/21691401.2018.1458730
5. Norouzi M, Boroujeni SM, Omidvarkordshouli N, Soleimani M. Advances in skin regeneration: application of electrospun scaffolds. *Adv Healthc Mater* 2015;4:1114-33. doi: 10.1002/adhm.201500001
6. Vig K, Chaudhari A, Tripathi S, Dixit S, Sahu R, Pillai S, et al. Advances in Skin Regeneration Using Tissue Engineering. *Int J Mol Sci* 2017;18. doi: 10.3390/ijms18040789
7. Mohamad H. Anatomy and embryology of human placenta, amnion and chorion. *The Scientific Basis of Tissue Transplantation*: World Scientific; 2001. p.139-48.
8. Bourne GL. The microscopic anatomy of the human amnion and chorion. *American Journal of Obstetrics and Gynecology* 1960;79:1070-3. doi: 10.1016/0002-9378(60)90512-3
9. Ramuta TZ, Kreft ME. Human Amniotic Membrane and Amniotic Membrane-Derived Cells: How Far Are We from Their Use in Regenerative and Reconstructive Urology? *Cell Transplant* 2018;27:77-92. doi: 10.1177/0963689717725528
10. Niknejad H, Peirovi H, Jorjani M, Ahmadiani A, Ghanavi J, Seifalian AM. Properties of the amniotic membrane for potential use in tissue engineering. *Eur Cells Mater* 2008;15:88-99. doi: 10.22203/ecm.v015a07
11. Farazdaghi M, Adler J, Farazdaghi SM. Electron Microscopy of Human Amniotic Membrane. The scientific basis of tissue transplantation: World Scientific; 2001. p. 149-71. doi: 10.1142/9789812811400\_0011
12. Parry S, Strauss JF. Premature rupture of the fetal membranes. *New England Journal of Medicine* 1998;338:663-70. doi: 10.1056/NEJM199803053381006
13. Wilshaw SP, Kearney JN, Fisher J, Ingham E. Production of an acellular amniotic membrane matrix for use in tissue engineering. *Tissue Eng* 2006;12:2117-29. doi: 10.1089/ten.2006.12.2117
14. Gholipourmalekabadi M, Bandehpour M, Mozafari M, Hashemi A, Ghanbarian H, Sameni M, et al. Decellularized human amniotic membrane: more is needed for an efficient dressing for protection of burns against antibiotic-resistant bacteria isolated from burn patients. *Burns* 2015;41:1488-97. doi: 10.1016/j.burns.2015.04.015
15. Salah RA, Mohamed IK, El-Badri N. Development of decellularized amniotic membrane as a bioscaffold for bone marrow-derived mesenchymal stem cells: ultrastructural study. *J Mol Histol* 2018;49:289-301. doi: 10.1007/s10735-018-9768-1
16. Dadkhah Tehrani F, Firouzeh A, Shabani I, Shabani A. A Review on Modifications of Amniotic Membrane for Biomedical Applications. *Front Bioeng Biotechnol* 2020;8:606982. doi: 10.3389/fbioe.2020.606982
17. Inge E, Talmi YP, Sigler L, Finkelstein Y, Zohar Y. Antibacterial properties of human amniotic membranes. *Placenta* 1991;12:285-8. doi: 10.1016/0143-4004(91)90010-d
18. Gilpin A, Yang Y. Decellularization Strategies for Regenerative Medicine: From Processing Techniques to Applications. *Biomed Res Int* 2017;2017:9831534. doi: 10.1155/2017/9831534
19. Gholipourmalekabadi M, Sameni M, Radenovic D, Mozafari M, Mossaebi-Mohammadi M, Seifalian A. Decellularized human amniotic membrane: how viable is it as a delivery system for human adipose tissue-derived stromal cells? *Cell Prolif* 2016;49:115-21. doi: 10.1111/cpr.12240
20. Goodarzi P, Alavi-Moghadam S, Sarvari M, Tayanloo Beik A, Falahzadeh K, Aghayan H, et al. Adipose Tissue-Derived Stromal Cells for Wound Healing. *Adv Exp Med Biol* 2018;1119:133-49. doi: 10.1007/5584\_2018\_220
21. Aghayan HR, Hosseini MS, Gholami M, Mohamadi-Jahani F, Tayanloo-Beik A, Alavi-Moghadam S, et al. Mesenchymal stem cells' seeded amniotic membrane as a tissue-engineered dressing for wound healing. *Drug Deliv Transl Res* 2021; doi: 10.1007/s13346-021-00952-3
22. Zhang J, Liu Y, Chen Y, Yuan L, Liu H, Wang J, et al. Adipose-Derived Stem Cells: Current Applications and Future Directions in the Regeneration of Multiple Tissues. *Stem Cells Int* 2020;2020:8810813. doi: 10.1155/2020/8810813
23. Miana VV, Gonzalez EAP. Adipose tissue stem cells in regenerative medicine. *Eccancermedicalscience* 2018;12:822. doi: 10.3332/ecancer.2018.822
24. Zelen CM, Snyder RJ, Serena TE, Li WW. The use of human amnion/chorion membrane in the clinical setting for lower extremity repair: a review. *Clin Podiatr Med Surg*. 2015;32:135-46. doi: 10.1016/j.cpm.2014.09.002
25. Pfaffl MW, Bustin S. AZ of quantitative PCR. Quantification strategies in real-time PCR. 2004;1:87-112.
26. Kohlhauser M, Luze H, Nischwitz SP, Kamolz LP. Historical Evolution of Skin Grafting-A Journey through Time. *Medicina* 2021;57. doi: 10.3390/medicina57040348
27. Fu X, Li H. Mesenchymal stem cells and skin wound repair and regeneration: possibilities and questions. *Cell Tissue Res* 2009;335:317-21.
28. Murphy SV, Skardal A, Nelson RA, Jr., Sunnon K, Reid T, Clouse C, et al. Amnion membrane hydrogel and amnion membrane powder accelerate wound healing in a full thickness porcine skin wound model. *Stem Cells Transl Med* 2020;9:80-92. doi: 10.1002/sctm.19-0101
29. Yusof N, Hilmy N. Historical development of amnion. *Human Amniotic Membrane: Basic Science and Clinical Application*: World Scientific; 2018. p.73-86. doi: 10.1142/9789813226357\_0004
30. Trelford JD, Trelford-Sauder M. The amnion in surgery, past and present. *Am J Obstet Gynecol* 1979;134:833-45. doi: 10.1016/0002-9378(79)90957-8
31. Nigam R, Mahanta B. An overview of various biomimetic scaffolds: Challenges and applications in tissue engineering. *Journal of Tissue Science & Engineering* 2014;5:1. doi: 10.4172/2157-7552.1000137
32. Gholipourmalekabadi M, Mozafari M, Salehi M, Seifalian A, Bandehpour M, Ghanbarian H, et al. Development of a Cost-effective and simple protocol for decellularization and preservation of human amniotic membrane as a soft tissue replacement and delivery system for bone marrow stromal cells. *Adv Healthc Mater* 2015;4:918-26. doi: 10.1002/adhm.201400704
33. Moravjei H, Memariani H, Memariani M, Kabir-Salmani M, Shoaee-Hassani A, Abdollahimajd F. Evaluation of Fibroblast Viability Seeded on Acellular Human Amniotic Membrane. *BioMed Research International* 2021;2021:5597758. doi: 10.1155/2021/5597758
34. Park JW, Hwang SR, Yoon IS. Advanced Growth Factor Delivery Systems in Wound Management and Skin Regeneration. *Molecules* 2017;22. doi: 10.3390/molecules22081259
35. Norouzi M, Shabani I, Atyabi F, Soleimani M. EGF-loaded nanofibrous scaffold for skin tissue engineering applications. *Fibers and Polymers* 2015;16:782-7. doi: 10.1007/s12221-015-0782-6
36. Lee D, Lim J, Woo KC, Kim KT. Piperonylic acid stimulates keratinocyte growth and survival by activating epidermal growth factor receptor (EGFR). *Sci Rep* 2018;8:162. doi: 10.1038/s41598-017-18361-3



## Viability of Human Adipose-Driven Stem Cells Seeded on Decellularized Amniotic Membrane Combined with Piperonylic Acid Induction

Zahra Nikoozad (Ph.D. Student)<sup>1</sup>, Taki Tiraihi (Ph.D.)<sup>1\*</sup>, Mahmoud Azami (Ph.D.)<sup>2</sup>, Saeid Abroun (Ph.D.)<sup>3</sup>, Farideh Feizi (Ph.D.)<sup>4</sup>

1- Dept. of Anatomical Sciences, Faculty of Medical Sciences, Tarbiat Modares University, Tehran, Iran.

2- Dept. of Tissue Engineering, School of Advanced Technologies in Medicine, Tehran University of Medical Sciences, Tehran, Iran.

3- Dept. of Haematology and Blood Banking, Faculty of Medical Sciences, Tarbiat Modares University, Tehran, Iran.

4- Dept. of Anatomical Sciences, School of Medicine, Babol University of Medical Sciences, Babol, Iran.

Received: 13 May 2022, Accepted: 24 June 2022

### Abstract:

**Introduction:** Adipose-derived stem cells (ADSCs) are the most common stem cell types used for treating a variety of diseases and also improve wound healing in preclinical and clinical trials. Human amniotic membrane (HAM) is one of the biological substitutes with specific potential to be applied in tissue engineering. Piperonylic acid (PA) is a small molecule extracted from black *Piper nigrum* that can activate signals associated with cell survival, growth, and proliferation.

**Methods:** To evaluate the viability and proliferation of cells, we decellularized HAM and human adipose-derived stem cells (hADSCs) seeded on DHAM in the presence of piperonylic acid as a small molecule in culture media. Bax and Bcl2 gene expression as apoptosis-related genes was also studied by real-time PCR.

**Results:** HAM decellularization was confirmed through the H&E and PI staining and DNA content assay. The viability and proliferation of hADSCs seeded on DHAM showed a significant increase in the presence of 75  $\mu$ M PA. Cell cultivation on DHAM demonstrated significantly decreased Bax gene expression and increased Bcl2 gene expression.

**Conclusion:** Based on our findings, DHAM as a bio-scaffold and PA can improve the viability and proliferative potential of hADSCs *in vitro*. PA with growth factor-like properties can be used in various tissues engineering and *in vitro* cell cultures.

**Keywords:** Adipose derived stem cell, Decellularized amniotic membrane, Piperonylic acid, Cell viability, Tissue engineering.

Conflict of Interest: No

\*Corresponding author: T. Tiraihi, Email: takialtr@modares.ac.ir

**Citation:** Nikoozad Z, Tiraihi T, Azami M, Abroun S, Feizi F. Viability of human adipose- driven stem cells seeded on decellularized amniotic membrane combined with piperonylic acid induction. Journal of Knowledge & Health in Basic Medical Sciences 2023;17(4):25-33.